

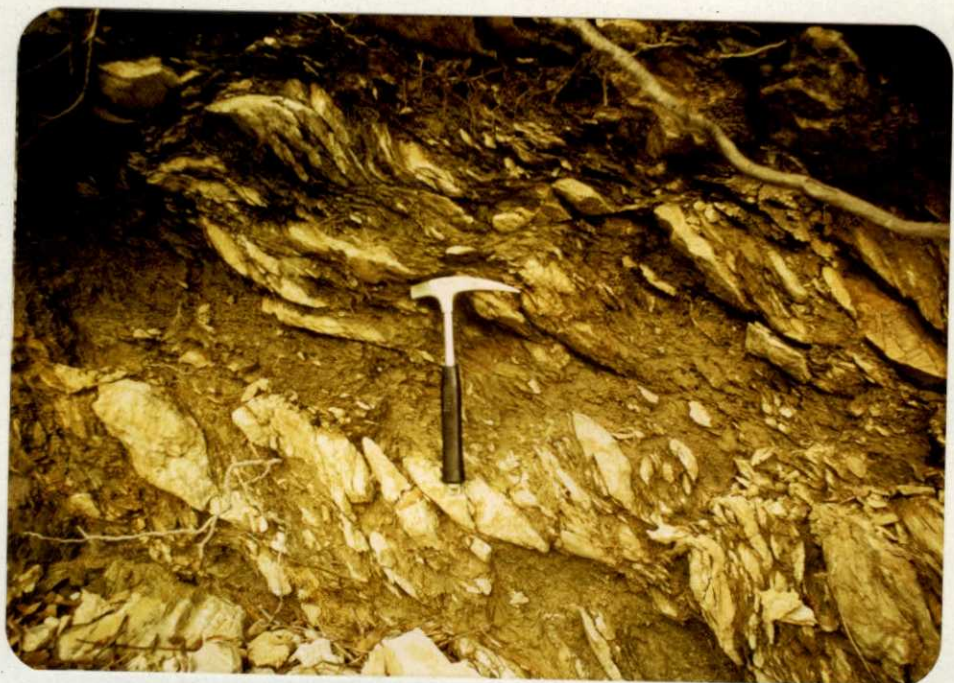
HOJA I4-44 (1050) UBRIQUE

ALBUM FOTOGRAFICO

**Fotografías: I4-44-TC-FM 2001 a 2032
(excepto la 2006)**



2.001. Calizas detriticas de la base del Flysch de Algeciras, cortijo de
Perdiguera, 6,5 Km. al SO. de Ronda (Al₁).



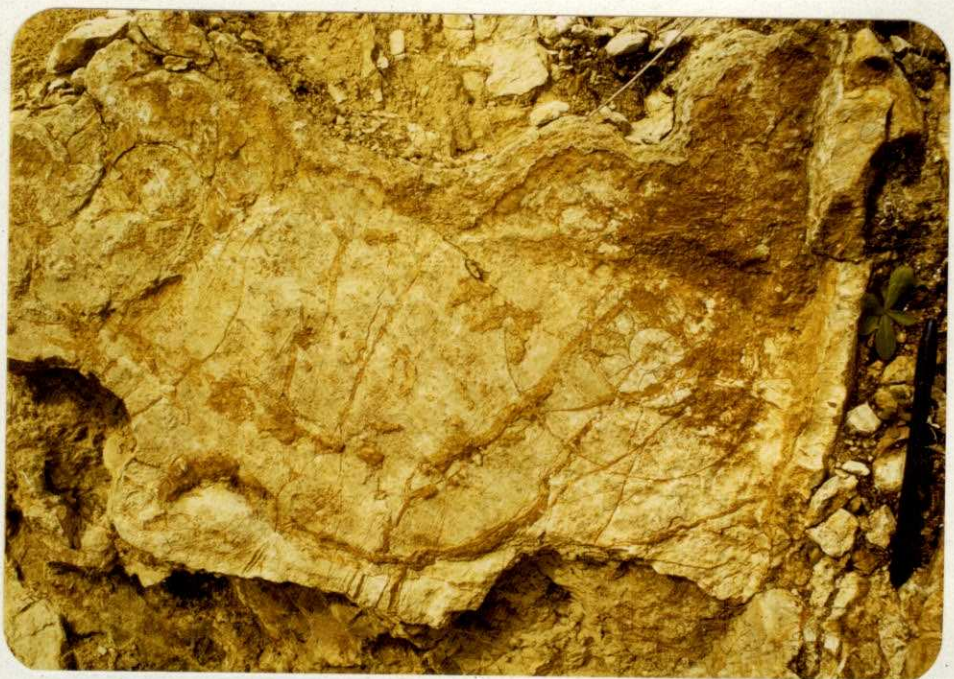
2.002. Calizas margosas blancas con esquistosidad ligada a un plano de cizalla horizontal. Casa del Ventorro, 2 Km. al NO. de Montejaque (Pb₅).



2.003. Jurásico superior subhorizontal junto a la Presa del Hundidero.
Montejaque (Pb_4).



2.004. Esquistosidad de fractura más tendida que la estratificación, en las capas rojas del Arroyo de la Sijuela, 7 Km. al SO. de Ronda (Pb₆).



2.005. Ammonites sobre el "hard ground", Jurásico-Cretácico, 2 Km. al SE. de Grazalema (Cádiz).



2.007. Deslizamientos de ladera en Flysch arenoso-micáceo del tramo alto
del Flysch de Algeciras. 5 Km. al SO. de Ronda (Al₃).



2.008. "Flute marks" en las arenas del Flysch albense del Corredor de Boyar. Inmediaciones del Puerto de Boyar (FB_2).



2.009. Fallas normales escalonando el contacto entre las capas rojas y las calizas jurásicas. 2,5 Km. al NO. de Montejaque (Pb_4 y Pb_6).

2.010. Pliegues en acordeó, vergentes al NO en las calizas margosas del Albense-Cenomanense. 12 Km. al SO de Ronda en las proximidades de la Ronda a Algeciras (Pb₅).





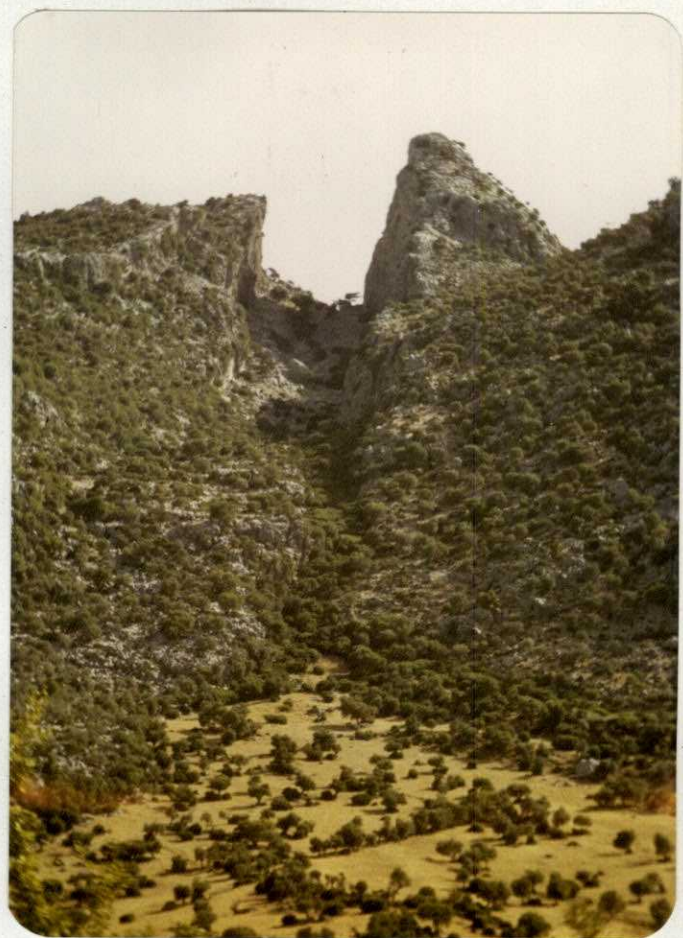
2.011. Mesopliegues tumbados en el Jurásico medio de la Sierra de Al-barracín. 1,5 Km. al SE de El Bosque (Z₄).



2.012. Arcillas, margas y limos (M_3) coronados por las calizas traver
tínicas (M_4) de Ronda la Vieja.



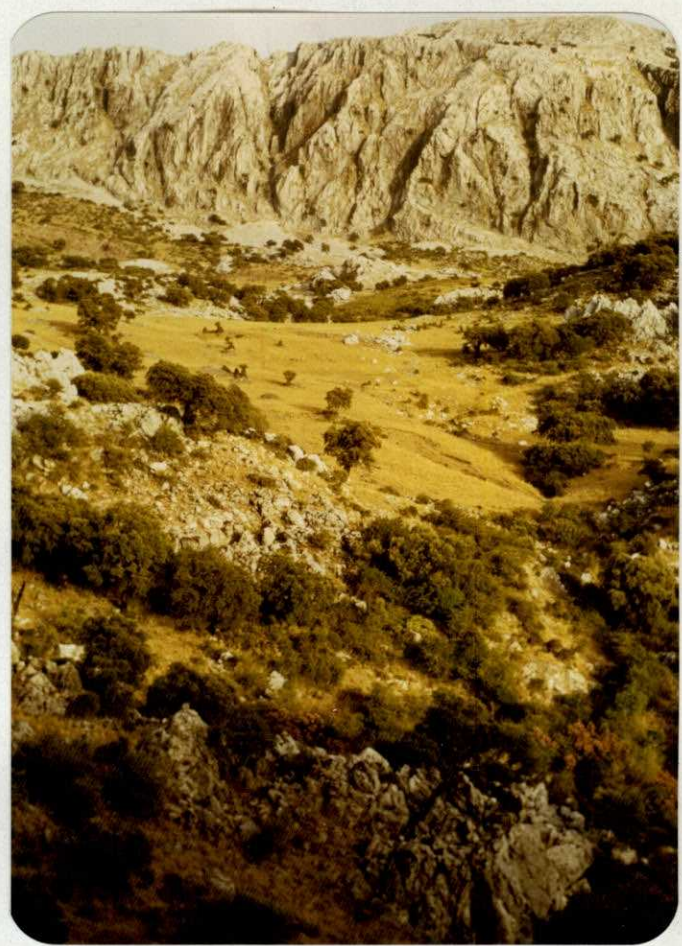
2.013. Pliegues con ejes inclinados en el jurásico medio (margo calizas y margas) de la Sierra del Pinar. Carril acceso al Pinsapar (P₅).



2014. El Salto del Cabrero. Cádiz en las proximidades de Ubrique.
(Pb'3).



2.015. Calizas con silex del Jurásico medio-alto. 3,5 Km. al NE. de Benaocaz. (Pb'4).



2.016. Calizas con silex y en primer término klippe de las brechas calizas de la base del manto de la Sierra del Endrinal (Pb''_2).



2.017. Calizas masivas del lián, dolomías caniolares, areniscas y arci-llas del Trías en la base del cábalgamiento del Navajo alto. Sierra del Caillo. Cádiz. (Pb₁).



2.018. Vista panorámica desde la Sierra Caillo de la Sierra de Libar, al fondo y del Neoumídico ligado al Numídico, cabalgando todo ello sobre el Subbético interno de la Sierra de Chaparral, en primer término.



2.019. Fosa Tectónica en la Sierra de Libar con su fondo ocupado por las calizas blancas con radiolaritas (subhorizontales) del Albense-Ceuomanense. (Pb₅).



2.020. Lapiaz en las calizas del Titónico del Subbético interno. 4 Km.
al Sur de Villaluenga del Rosario. (b₄).



2.021. Areniscas del Aljibe cerca del río Gaduares, 3,5 Km. al SE.
de Grazalema. Cádiz (N_2).



2.022. Radiolaritas y pizarras carbonosas del Arroyo de Boyar. 4 Km.
al Oeste del Puerto de Boyar. (P₈).



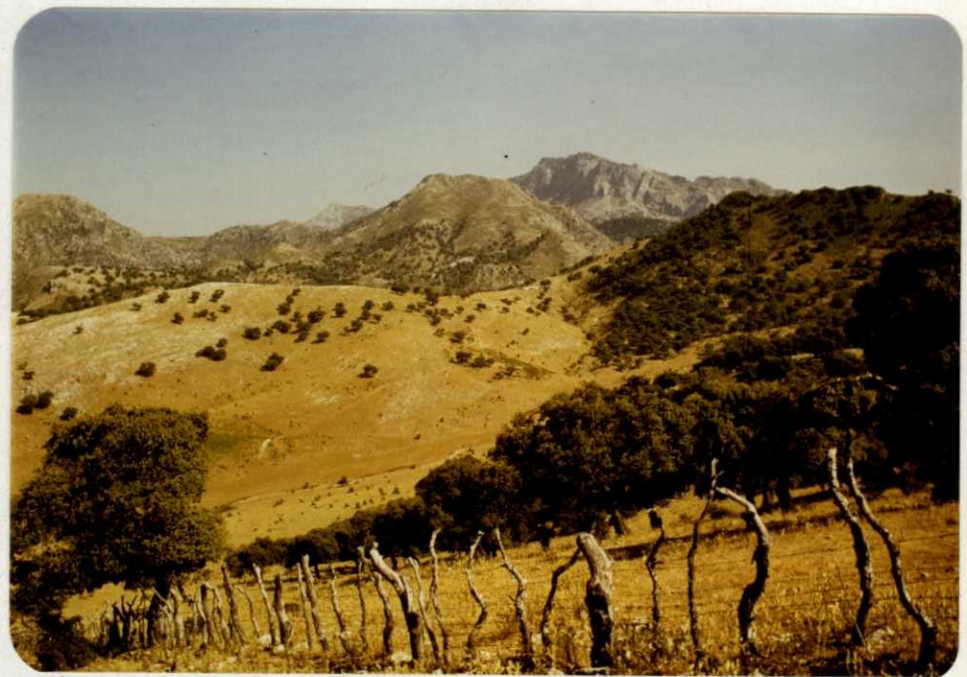
2.023. Canchal en la Sierra del Pinar junto a Benamaona. (Qch).



2.024. Dolomías de la bases de la serie jurásica en el Pinsapar de la Sierra del Pinar. (P₂)



2.025. Dolomías y Trías de la Sierra de Zafalgar (Z_2), retrocabalgando sobre el Dogger de la Sierra del Pinar (P_5). Observese la imbricación del paquete dolomítico, asociada al retrogabalgamiento . 5 Km. al Sur de Zahara. Cádiz.



2.026. En primer término las laderas orientales de la Sierra Margarita (alternancias de calizas y margas) (Z_4). Al fondo la Sierra de Zafalgar y la Sierra del Pinar.



2.027. Acantilados de calizas del Lías de la Sierra de Montejaque, en primer término capas rojas (Pb_6) con retazos de areniscas del Oligoceno del Subbético interno (Pb_8).

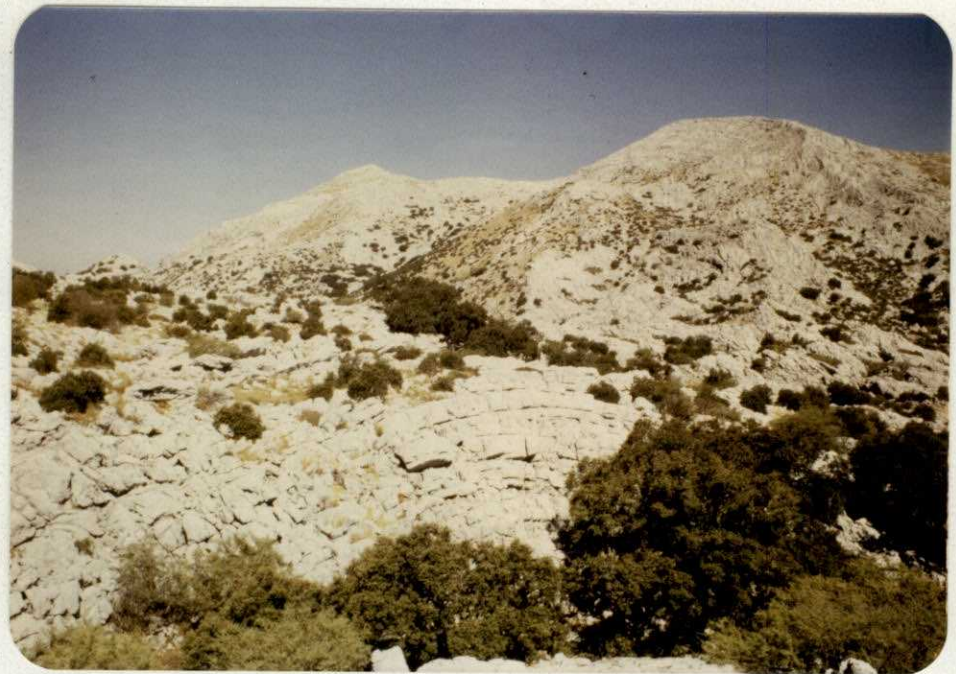


2.028. Capas rojas con esquistosidad oblicua a N . Débil vergencia al Sur (Pb_6). Inmediaciones de la Cueva de Pileta.

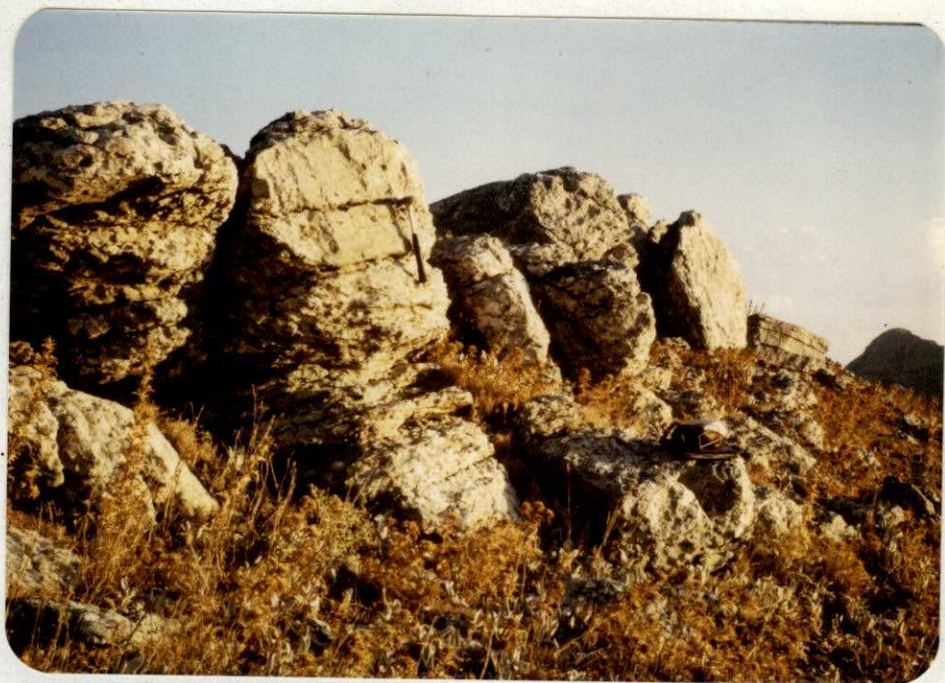
estratificación



2.029. Base del manto de la Sierra del Endrinal. Dolomía que lateralmente y de forma gradual pasa a brechas dolomíticas. (Pb_2 y Pb''_2). 3 Km. al NE de Benaocaz. Cádiz.



2.030. Anticlinal de la Sierra del Endrinal, en la serie de calizas oolíticas del Lías y Dogger (Pb_3). Al fondo el pico del Reloj.



2.031. Calizas nodulosas rojas y blancas de la Sierra del Peñón Grande.
(Pb'5)



2.032. Brecha poligénica (esencialmente dolomítica) de la Unidad de Montecorto. (Mt₂)























































